

การออกแบบตัวควบคุมที่มีดัชนีสมรรถนะ H_2 ที่เหมาะสมที่สุดด้วยตัวดำเนินการเดลต้า Optimal H_2 Controller Design with Delta Operator

อดิรักษ์ กาน chanaharuthai

สาขาวิชาวิศวกรรมไฟฟ้า คณะวิศวกรรมศาสตร์ มหาวิทยาลัยเกษตรศาสตร์ 10250

โทร. 321-6930-9 ต่อ 212 และ 213, โทรสาร 321-4444, Email: adkancha@hotmail.com

Adirak Kanchanaharuthai

Department of Electrical Engineering, Faculty of Engineering, Kasem Bundit University

Pattanakarn Road, Suan Luang District, Bangkok 10250, Thailand

Tel: 321-6930-9 Ext. 212, 213, Fax: 321-4444.

บทคัดย่อ

บทความนี้ได้นำเสนอ วิธีการออกแบบตัวควบคุมที่มีดัชนีสมรรถนะ H_2 ซึ่งใช้ตัวดำเนินการเดลต้าและใช้อสมการเมทริกซ์เชิงเส้น (Linear Matrix Inequalities: LMIs) การออกแบบนี้จะให้เงื่อนไขบังคับของการมีเสถียรภาพของระบบวงรอบปิดและการประกันผิดพลาดที่ดีที่สุด ที่เพียงพอที่สุดซึ่งสามารถอธิบายในโครงสร้างหมายของ การทำให้พลังงานที่เกิดจากสัญญาณออกที่ใช้เป็นสัญญาณควบคุมของระบบให้มีค่าน้อยที่สุด และพิจารณาด้วยนี้แสดงความสัมพันธ์ของดัชนีสมรรถนะ H_2 ของระบบในโคลเมเนเดลต้าที่มีต่อระบบในโคลเมเนเวลาต่อเนื่องและระบบในเวลาเต็มหน่วยเมื่อมีการปรับเปลี่ยนควบการซักตัวอย่าง

คำสำคัญ: การควบคุมที่มีดัชนีสมรรถนะ H_2 ที่เหมาะสมที่สุด / ตัวดำเนินการเดลต้า

Abstract

In this paper, we propose a controller design method which can guarantee optimal H_2 performance using Delta operator and Linear Matrix Inequality (LMI). This design method provides the stability constraint of closed-loop system and guarantees optimal H_2 performance which can be described meaningfully as the energy of output signal or regulated signal of system is minimized and simultaneously shows relation of H_2 performance between delta domain system and both continuous time and discrete time.

Keywords: Optimal H_2 Control/ Delta Operator

1 บทนำ

การพัฒนาเทคโนโลยีด้านคอมพิวเตอร์ ได้มีความเจริญอย่างรวดเร็ว ซึ่งส่งผลในแนวต่อการนำคอมพิวเตอร์ที่มีประสิทธิภาพเข้ามาใช้ในการวิเคราะห์และออกแบบของระบบ และเป็นการเพิ่มขีด

ความสามารถในการควบคุมระบบที่เป็นอยู่ในด้านต่าง ๆ รวมทั้งในด้านอุตสาหกรรมที่มีการขยายตัวอย่างรวดเร็ว คอมพิวเตอร์ที่นำมาใช้นี้เปรียบเสมือน ตัวควบคุมการทำงานทั้งหมดของระบบ ดังนั้นเพื่อให้การทำงานมีประสิทธิภาพ จึงต้องทำการวิเคราะห์และออกแบบ ตัวควบคุมที่เหมาะสมกับระบบหรือกระบวนการนั้น ๆ และเป็นที่ทราบกันดีว่าในระบบควบคุมด้วยแบบต่อเนื่อง (Continuous-time system) และระบบในเวลาเต็มหน่วย (Discrete-time) ซึ่งการควบคุมระบบทั้งสองต้องมีการออกแบบที่แตกต่างกันดังนี้คือ ระบบในโคลเมเนเวลาต่อเนื่องใช้คำนวณซักตัวอย่าง (sampling time) เข้าใกล้ศูนย์หรือเป็นศูนย์และใช้ผลการแปลงลาปลาซ (Laplace Transform) ส่วนระบบในโคลเมเนเต็มหน่วยใช้คำนวณซักตัวอย่างที่มากกว่าศูนย์และใช้ผลการแปลง Z (Z Transform) ดังนั้นจะเห็นว่าในการควบคุมและออกแบบในระบบต้องกล่าวถึง 2 ไม่สามารถสร้างความสัมพันธ์ระหว่างทั้งสองระบบได้

ปัจจุบันได้มีการวิจัยเพื่อศึกษาระบบควบคุม ที่สามารถอิมบิยาพดุติกรรมและสร้างความสัมพันธ์ของ ระบบในโคลเมเนเวลาต่อเนื่องและระบบในเวลาเต็มหน่วยให้มีความเกี่ยวข้องกับ คำนวณซักตัวอย่างซึ่งสามารถปรับเปลี่ยนได้โดยเรียกระบบตั้งกล่าวว่า ระบบในโคลเมเนเดลต้าและใช้ผลการแปลงเดลต้า (δ operator) ซึ่งเสนอโดย R. H. Middleton และ G. C. Goodwin [3]

ดังนั้นบทความนี้ได้นำเสนอ วิธีการออกแบบตัวควบคุมที่มีดัชนีสมรรถนะ H_2 ซึ่งใช้ตัวดำเนินการเดลต้าและใช้อสมการเมทริกซ์เชิงเส้น (Linear Matrix Inequalities: LMIs) การออกแบบนี้จะให้เงื่อนไขบังคับของการมีเสถียรภาพของระบบวงรอบปิดและการปรับแก้ผิดพลาดที่ดีที่สุด ที่เพียงพอที่สุดซึ่งสามารถอธิบายในโครงสร้างหมายของ การทำให้พลังงานที่เกิดจากสัญญาณออกที่ใช้เป็นสัญญาณที่ต้องการควบคุมของระบบให้มีค่าน้อยที่สุด และพิจารณาด้วยนี้แสดงความสัมพันธ์ของดัชนีสมรรถนะ H_2 ของระบบในโคลเมเนเดลต้าที่มีต่อระบบในโคลเมเนเวลาต่อเนื่อง และระบบในเวลาเต็มหน่วยเมื่อมีการปรับเปลี่ยนควบการซักตัวอย่าง

ลำดับเนื้อหาในบทความนี้เริ่มจาก หัวข้อที่ 2. จะกล่าว

ถึงระบบเชิงเส้นในโดเมนเดลต้า ตามด้วยการออกแบบตัวควบคุมที่มีดัชนีสมรรถนะ H_2 ในข้อที่ 3 หัวข้อที่ 4 แสดงผลการจำลองระบบด้วยคอมพิวเตอร์โดยใช้ระบบเพนดูลัมมอคัทเป็นกรณีศึกษา และหัวข้อสุดท้ายเป็นการวิเคราะห์และสรุปผลการออกแบบตัวควบคุม

2 ระบบเชิงเส้นในโดเมนเดลต้า

พิจารณาระบบในโดเมนเวลาต่อเนื่อง (Continuous time system) ดังต่อไปนี้

$$\dot{x}(t) = Ax(t) + Bu(t) \quad (1)$$

$$y(t) = Cx(t) \quad (2)$$

โดย T แทนด้วยค่าการสูழด้วยต่อไปนี้ในระบบโดเมนเดลต์ (Discrete-time system) หรือใช้วิธีการที่เรียกว่า Discretization จะได้ดังต่อไปนี้

$$x_{k+1} = (e^{AT})x_k + \left(\int_0^T e^{At} B \right) u_k =: A_q x_k + B_q u_k, \quad (3)$$

$$y_k = Cx_k =: C_q x_k \quad (4)$$

และในสมการที่ (3) และ (4) สามารถเปลี่ยนให้อยู่ในระบบเดิมหน่วยที่อยู่ในโดเมน δ ได้ดังสมการต่อไปนี้

$$\delta x_k = \frac{x_{k+1} - x_k}{T} = \underbrace{\left(\frac{A_q - I}{T} \right)}_{A_\delta} x_k + \underbrace{\left(\frac{B_q}{T} \right)}_{B_\delta} u_k, \quad (5)$$

$$y_k = C_q x_k \quad (6)$$

โดยสามารถแทนทั้งระบบในโดเมนต่อเนื่องและระบบในโดเมนเดิมหน่วยได้ดังนี้

$$\rho x_k := \begin{cases} \dot{x} & T=0 \text{ (continuous time)} \\ \delta x_k & T \neq 0 \text{ (discrete time)} \end{cases} \quad (7)$$

และ

$$S_{t_0}^{t_f} f(t) dt := \begin{cases} \int_{t_0}^{t_f} f(t) dt & T=0 \\ T \sum_{k=t_0}^{t_f-1} f(kT) & T \neq 0 \end{cases} \quad (8)$$

ดังนั้นสามารถเขียนระบบในโดเมนเดิมหน่วยที่อยู่ในโดเมน δ ได้ดังนี้

$$\rho x_k = A_\delta x_k + B_\delta u_k \quad (9)$$

$$y = C_\delta x_k \quad (10)$$

โดย $A_\delta := \frac{A_q - I}{T} = \Psi(A, T)A$, $B_\delta = \frac{B_q}{T} = \Psi(A, T)B$, $C_\delta = C_q$ และ $\Psi(A, T) = I + \frac{AT}{2!} + \frac{A^2 T^2}{3!} + \dots$ ซึ่งสมการที่ (9) และ (10) เมื่อให้ $T \rightarrow 0$, $A_\delta(T) \rightarrow A$, $B_\delta(T) \rightarrow B$ และเห็นว่า เมื่อค่าของกาสูมตัวอย่าง T (Sampling time) เข้าใกล้ศูนย์ เมทวิธีของระบบในโดเมนเวลาเดิมหน่วยในโดเมน δ จะเข้าใกล้ระบบในโดเมนเวลาต่อเนื่องซึ่งจะให้แตกต่างจากระบบในโดเมนเวลา เดิมหน่วยในโดเมนเวลา z เช่น $\lim_{T \rightarrow 0} A_\delta \rightarrow I$ และ $\lim_{T \rightarrow 0} B_\delta \rightarrow 0$ เป็นต้น ซึ่งจะเห็นว่าระบบในโดเมนเดิมหน่วยในโดเมน δ สามารถรวมทั้งระบบในโดเมนเวลาต่อเนื่องในโดเมนเวลาเดิมหน่วยไว้ในระบบเดียว กัน นอกจากนี้บริเวณที่มีเสถียรภาพสำหรับโพลของระบบในโดเมน δ อยู่ในวงกลม D_T ซึ่งมีจุดศูนย์กลางอยู่ที่ $(-\frac{1}{T}, 0)$ และรัศมีขนาด $\frac{1}{T}$ ในระบบเชิงช้อน และสามารถแสดงความสมมูล์

ระหว่างระบบเดิมหน่วยในโดเมน δ และระบบเดิมหน่วยในโดเมน z ได้ดังนี้คือ $\gamma = \frac{z-1}{T}$ โดย z และ γ แทนด้วยตัวแปรการแปลงในโดเมน z และโดเมน δ ตามส่วนตัว และเมื่อพิจารณาในโดเมน z มีบริเวณที่มีเสถียรภาพภายใต้เงื่อนไขของ $|z| < 1$ และในโดเมน δ มีบริเวณที่มีเสถียรภาพภายใต้เงื่อนไขของ $\frac{T}{2}|\gamma|^2 + 2\gamma < 0$ ซึ่งสมมูลกับบริเวณ D_T และถ้าพิจารณาที่ $T = 0$ เพื่อในของโดเมน δ จะลดลงสู่ $\gamma < 0$ ซึ่งบริเวณดังกล่าวคือบริเวณทางด้านซ้ายของระบบเชิงช้อนหรือบริเวณที่มีเสถียรภาพของระบบในโดเมนเวลาต่อเนื่อง ที่สามารถแทนด้วยตัวแปรการแปลงในโดเมนเวลาต่อเนื่อง s (รายละเอียดเพิ่มเติมสามารถหาได้จาก [3])

บทความนี้นำเสนอการออกแบบตัวควบคุมที่มีโครงสร้างของสัญญาณเข้า $u(t)$ ในรูปของการป้อนกลับแบบปรับสถานะ (state feedback controller) ในโดเมน δ ดังในสมการต่อไปนี้

$$u_k = Kx_k \quad (11)$$

โดยอัตราขยายป้อนกลับสถานะ K นี้สามารถทำให้ระบบ (9) และ (10) ให้ผลของดัชนีสมรรถนะ H_2 ที่น้อยที่สุดสำหรับโดเมน δ

3 การออกแบบตัวควบคุมด้วยดัชนีสมรรถนะ H_2

พิจารณาบนในสมการที่ (9) และกำหนดให้มีค่าของดัชนีสมรรถนะ H_2 ที่น้อยที่สุด จะเป็นดังสมการต่อไปนี้

$$\mathcal{J} = S_0^\infty (x_k^T Q x_k + u_k^T R u_k) dt \quad (12)$$

โดยที่เมทริกซ์ Q และ R มีค่าเป็นค่าวิกแหนนอน (Positive definite) และเมื่อแทนค่าของ u_k ลงในสมการที่ (12) จะได้สมการต่อไปนี้

$$\mathcal{J} = S_0^\infty (x_k^T Q x_k + K^T R K) dt \quad (13)$$

จากสมการที่ (13) สามารถสร้างเงื่อนไขบังคับของ LMI ได้ดังนี้ คือ กำหนดให้ฟังก์ชันลียาپูโนฟ์ก่อลังสอง (Quadratic Lyapunov function) $x_k^T P x_k$ โดย $P = P^T > 0$ ซึ่งนำมาสร้างความสัมพันธ์กับฟังก์ชันค่าในสมการที่ (12) ได้ดังนี้

$$\rho[x_k^T P x_k] \leq -x_k^T (Q + K^T R K) x_k \quad (14)$$

โดยพิจารณาคุณสมบัติจากโดเมน δ ดังต่อไปนี้

$$\rho[x_k y_k] = [\rho x_k] y_k + x_k [\rho y_k] + T[\rho x_k][\rho y_k] \quad (15)$$

ดังนั้นเมื่อแทนสมการที่ (14) ลงในสมการที่ (15) จะได้ดังนี้

$$\rho[x_k^T P x_k] = x_k^T (A_\delta^T P + P A_\delta + T A_\delta P A_\delta^T) x_k \quad (16)$$

สำหรับทุก ๆ ค่าของ t (ยกเว้นที่เวลาที่มีการสวิตช์) และเมื่อ อินทิเกรตในโดเมน δ ก็ส่งข้างของสมการจากเวลาที่ศูนย์ถึงเวลาที่มีค่าเป็นอนันต์จะได้

$$x_\infty^T P x_\infty - x_0^T P x_0 \leq -S_0^\infty x_k^T (Q + K^T R K) x_k \quad (17)$$

จะได้

$$\mathcal{J} = S_0^\infty x_k^T (Q + K^T R K) x_k \leq x_0^T P x_0, x_\infty^T P x_\infty \rightarrow 0. \quad (18)$$

และจากสมการที่ (12) แสดงความสมมูลได้ดังนี้

$$A_\delta^T P + P A_\delta + T A_\delta^T P A_\delta + K^T R K + Q \leq 0 \quad (19)$$

ดังนั้นเมื่อแทนค่าของ $u_k = Kx_k$ ลงในสมการที่ (9) จะได้ดังนี้

$$\rho x_k = A_{cl}x_k = (A_\delta + B_\delta K)x_k, x(0) = x_0 \quad (20)$$

โดยกำหนดให้ x_0 แทนวิวัฒนาการของสถานะเริ่มต้นของระบบที่ได้พิจารณา และเมื่อแทนค่าของ A_{cl} ลงในสมการที่ (19) จะได้

$$(A_\delta + B_\delta K)^T P + P(A_\delta + B_\delta K) + T(A_\delta + B_\delta K)^T P(A_\delta + B_\delta K) + K^T R K + Q \leq 0 \quad (21)$$

ในสมการที่ (21) จะเห็นได้ว่าผลลัพธ์ของเมทริกซ์อัตราขยายป้อนกลับสถานะ K และเมทริกซ์ลี่ยาปูนอฟ P ทำให้เกิดปัญหาของกรณีเมื่อเป็นการโปรแกรมกึ่งแน่นอน (Semidefinite programming: SDP) รายละเอียดเพิ่มเติมสามารถหาได้จาก [1] และ [2] ตามลำดับ ซึ่งความสามารถทำการแปลงจากปัญหาที่ไม่เป็น SDP ให้เป็นปัญหา SDP ได้โดยการทำหน้าที่เมทริกซ์ใหม่คือ Y และ W ซึ่งเขียนดังนี้คือ $Y = P^{-1}, W = K P^{-1} (P > 0, Y > 0)$ ดังนั้นจะได้ $P = Y^{-1}$ ดังนั้นตัวควบคุมป้อนกลับสถานะจะอยู่ในรูปของ $u = Kx = WY^{-1}x$ เมื่อแทนความสัมพันธ์ดังกล่าวในสมการที่ (21) จะได้ดังนี้

$$YA_\delta^T + A_\delta Y + B_\delta W + W^T B_\delta^T + Y^T Q Y + W^T R W \leq 0 \\ + T(A_\delta Y + B_\delta W)^T Y^{-1} (A_\delta Y + B_\delta W) \leq 0 \quad (22)$$

และสามารถจัดรูปใหม่ได้ดังนี้

$$YA_\delta^T + A_\delta Y + B_\delta W + W^T B_\delta^T \\ + \begin{pmatrix} Y \\ W \end{pmatrix}^T \begin{pmatrix} Q & 0 & 0 \\ 0 & R & 0 \\ 0 & 0 & Y^{-1} \end{pmatrix} \begin{pmatrix} Y \\ W \end{pmatrix} \leq 0 \quad (23)$$

โดย $W = T^{\frac{1}{2}}(A_\delta Y + B_\delta W)$ เมื่อใช้ส่วนเดิมของ Schur (Schur Complement) ทำการจัดรูปในสมการที่ (23) จะได้อสมการเมทริกซ์กำลังสอง ซึ่งสามารถเปลี่ยนเป็นอสมการเมทริกซ์เชิงเส้นดังสมการต่อไปนี้

$$L(Y, W) = \begin{pmatrix} N & Y & W^T & W^T \\ Y & -Q^{-1} & 0 & 0 \\ W & 0 & -R^{-1} & 0 \\ W & 0 & 0 & -Y \end{pmatrix} \leq 0 \quad (24)$$

โดย $N = YA_\delta^T + A_\delta Y + B_\delta W + W^T B_\delta^T$ และในสมการที่ (18) สามารถจัดให้อยู่ในรูปของ LMI ได้ดังนี้ (ใช้ส่วนเดิมของ Schur)

$$x_0^T P x_0 = x_0^T Y^{-1} x_0 \leq \gamma \leftrightarrow \begin{pmatrix} \gamma & x_0^T \\ x_0 & Y \end{pmatrix} \\ \leftrightarrow \text{Tr}(x_0^T P x_0) \leq \text{Tr}(\gamma) \quad (25)$$

ดังนั้นการพิจารณาค่าที่น้อยที่สุดของสมการที่ (24) และ (25) จะแสดงรูปแบบของการหาค่าที่เหมาะสมที่สุดได้ดังนี้

(minimize)	$\text{Tr}(\gamma)$
(subject to)	(24) และ $Y = Y^T > 0$

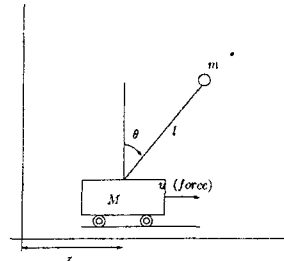
(26)

ข้อสังเกต จากสมการที่ (16) จะเห็นได้ว่า

- เมื่อให้ $T \rightarrow 0$ จะได้ $A^T P + PA < 0$ ซึ่งลดลงสู่อสมการลี่ยาปูนอฟ (Lyapunov inequality) ในการนิของระบบในโดเมนเวลาต่อเนื่อง
- เมื่อให้ $T \neq 0$ แทน $A_\delta = \frac{A_\delta - I}{T}$ ในสมการที่ (16) จะได้ $A_q^T P A_q - P < 0$ ซึ่งลดลงสู่อสมการลี่ยาปูนอฟ (Lyapunov inequality) ในการนิของระบบในโดเมนเดิมหน่วยในโดเมน Z

4 ผลการจำลองระบบด้วยคอมพิวเตอร์

การจำลองระบบพิจารณาระบบที่น้ำหนักมีผลกระทบตั้งรูปที่ 1 ซึ่งมีแบบจำลองที่ผ่านการทําให้เป็นเชิงเส้นดังสมการปริภูมิสถานะ



รูปที่ 1: ระบบเพนดูลัมผกผัน

ดังต่อไปนี้

$$\begin{pmatrix} \dot{\theta} \\ \ddot{\theta} \\ \dot{z} \\ \ddot{z} \end{pmatrix} = \begin{pmatrix} 0 & 1 & 0 & 0 \\ \frac{(M+m)g}{Ml} & 0 & 0 & 0 \\ 0 & 0 & 0 & 1 \\ -\frac{mg}{M} & 0 & 0 & 0 \end{pmatrix} \begin{pmatrix} \theta \\ \dot{\theta} \\ z \\ \dot{z} \end{pmatrix} + \begin{pmatrix} 0 \\ -\frac{1}{Ml} \\ 0 \\ \frac{1}{M} \end{pmatrix} u \quad (27)$$

$$y = \begin{pmatrix} 1 & 0 & 0 & 0 \\ 0 & 0 & 1 & 0 \end{pmatrix} \begin{pmatrix} \theta \\ \dot{\theta} \\ z \\ \dot{z} \end{pmatrix} \quad (28)$$

และค่าของพารามิเตอร์ต่าง ๆ ที่ใช้แสดงดังในตารางที่ 1

ตารางที่ 1 ค่าที่ใช้ของระบบเพนดูลัมผกผัน

$m(kg)$	$M(kg)$	$l(m)$	$g(m/s^2)$
0.5	0.5	1	10

การออกแบบตัวควบคุมป้อนกลับตัวแปรสถานะในโดเมนเดลต้า โดยเริ่มจากการกำหนดให้สามารถติดตามมุมที่ต้องการ $\theta(t)$ คือ 0 องศา และตำแหน่งของ cart ที่ต้องการอยู่ต่ำๆ แห่งที่คูนย์ เมตร ตามลำดับ และ $u(t) = Kx(t)$ แทนวิวัฒนาการของสถานะในโดเมนเดลต้า และดัชนีสมรรถนะ H_2 ที่คานการสุ่มตัวอย่างที่ $T = 0, 0.1, 0.5$ และ 1 วินาที ตามลำดับซึ่งคำนวนจาก LMI Toolbox Control [2] ผลการจำลองด้วยคอมพิวเตอร์จากการหาค่าที่น้อยที่สุดในสมการที่ 26 ให้ผลของดัชนีสมรรถนะ H_2 ที่คานการสุ่มตัวอย่างที่ค่าต่างๆ ดังแสดงในตารางที่ 2 และรูปที่ 2, 3 และ 4 แสดงผลตอบสนองเชิงเวลาของ $z(t)$, $\theta(t)$ และ $u(t)$ ซึ่งมีเงื่อนไขที่ $z(t) = 0.1$ เมตร และ $\theta = 0.1$ เรเดียน

ตารางที่ 2 ดัชนีสมรรถนะ H_2 ที่ค่าการสุ่มตัวอย่างต่าง ๆ

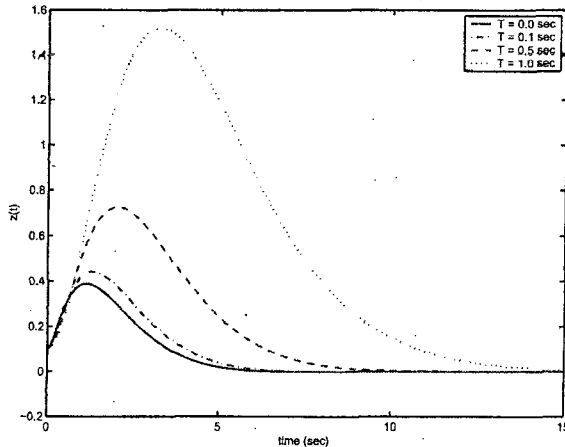
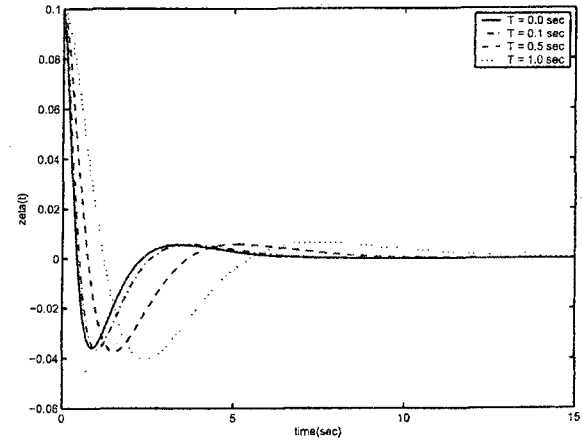
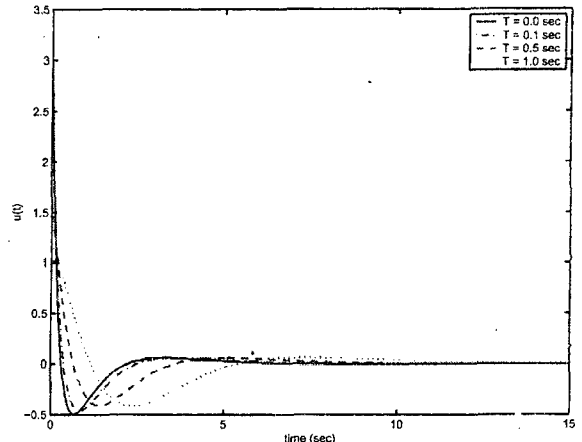
	$T = 0.0 \text{ sec.}$	$T = 0.1 \text{ sec.}$	$T = 0.5 \text{ sec.}$	$T = 1.0 \text{ sec.}$
H_2	1.1114	1.3093	2.4442	5.9537

5 สรุป

จากการผลการจำลองระบบด้วยคอมพิวเตอร์ จะเห็นได้ว่าการออกแบบตัวควบคุมที่ได้สามารถรักษาเสถียรภาพ ของระบบวงจรอนปิดและสร้างความล้มเหลวของระบบในโดเมนเวลาต่อเนื่อง กับระบบในโดเมนเวลาเต็มหน่วยในโดเมนเดลล์ที่ค่าการซักตัวอย่างต่าง ๆ ค่าต่าง ๆ และจะเห็นได้ว่าเมื่อ $T \rightarrow 0$ ผลตอบสนองที่ได้จะกลับคืนสู่ระบบในโดเมนเวลาต่อเนื่องพร้อมกันนี้ดัชนีสมรรถนะ H_2 ที่ $T \rightarrow 0$ เป็นดัชนีสมรรถนะ H_2 ที่ต่ำที่สุดและวิธีการออกแบบห้องระบบในโดเมนเวลาต่อเนื่องและโดเมนเวลาเต็มหน่วย สามารถออกแบบด้วยเงื่อนไขบังคับของ LMI เดียวกัน

เอกสารอ้างอิง

- [1] S. Boyd, L. El Ghaoui, E. Feron, and V. Balakrishnan, *Linear Matrix Inequalities in Systems and Control Theory*, SIAM, 1994.
- [2] P. Gahinet, A. Nemirovski, A. J. Laub, and M. Chilali, *LMI Control Toolbox*, Natick, MA: The MathWork, 1995.
- [3] R. H. Middleton and G. C. Goodwin, *Digital Control and Estimation: A unified Approach*, Prentice Hall, 1990.

รูปที่ 2: ผลตอบสนองเชิงเวลาของ $u(t)$ รูปที่ 3: ผลตอบสนองเชิงเวลาของ $\theta(t)$ รูปที่ 4: ผลตอบสนองเชิงเวลาของ $z(t)$

- X^{-1} : The inverse of X or the inverse of linear operator X , i.e., $XX^{-1} = I$.
- Tr: The Trace of $X \in \mathbb{R}^{m \times n}$
- $X > 0$ ($X \geq 0$): The symmetric X is positive definite (semidefinite), i.e., $X = X^T$ and $z^T X z > 0$ ($z^T X z \geq 0$) for all $z \in \mathbb{R}^n$.

List of Acronyms

- LMI: Linear Matrix Inequality
- SDP: Semidefinite Programming

List of Symbols

- $\mathbb{R}^{m \times n}$: The vector space of $m \times n$ real matrices.
- X^T : The transpose of a matrix $X \in \mathbb{R}^{m \times n}$.
- I_m : The identity matrix of size m of the identity of linear operator. We omit the subscript when m can be determined from context.